



Using SOM and Wavelet Transform pre-processing methods in groundwater level prediction (Case Study: AzarShahr plain)

Farnaz Daneshvar Vousooughi^{*}, Ali Karimi²

Abstract

Prediction of groundwater level play an important role in the groundwater source management. Groundwater plays most important role in providing required water for agricultural, urban and industrial uses, especially in semi-arid regions. The Present study focused on predicting groundwater level in the AzarShahr plain using pre-processing tools in two scenarios. Clustering tool was used by means of Self-Organized Maps (SOM) for conducting spatial pre-processing and wavelet transform (WT) for time pre-processing and also artificial neural system for modeling. SOM based clustering technique was used to identify spatially homogeneous clusters of groundwater data to use in artificial neural network to model groundwater resources. The WT was also used to extract dynamic and multi-scale features of the non-stationary GWL, runoff and rainfall time series. Results showed that using the WT and combining it with artificial neural system in groundwater level modeling of AzarShahr plain led to 11.6 percent improvement in the modeling accuracy, in verification stage the in the first scenario and 23.5 percent improvement in the second scenario. It can be concluded that using new modeling methods such as applying time and spatial pre-processing tools leads to significant increase in the modeling accuracy.

Keywords: Pre-processing, Wavelet Transform, Groundwater Level, AzarShahr Plain, Artificial Neural Network.

Received: 2016/11/07
Accepted: 2017/08/12

1- Assistant professor, Dept. of Water Resources Engineering, Faculty of Civil Eng., Univ. of Ardabil Islamic
2- M.Sc., Dept. of Water Resources Engineering, Faculty of Civil Eng., Univ. of Ahar Islamic
*- Corresponding Author Email: fdaneshvar.vousooughi@gmail.com

استفاده از روش‌های پیش‌پردازش SOM و تبدیل موجک در پیش‌بینی تراز آب زیرزمینی (مطالعه موردی: دشت آذرشهر)

فرناز دانشور و ثوقی^{*}، علی کریمی²

چکیده

پیش‌بینی سطح آب زیرزمینی یک حوضه نوش مهمنی را در مدیریت منابع آبی اینجا می‌کند. به خصوص در مناطق نیمه‌خشک آب‌های زیرزمینی نقش بسیار مهمی در تعیین آب مورد نیاز، کشاورزی، شهری و امور صنعتی دارد. مطالعه حاضر در دو سناریو به پیش‌بینی تراز آب زیرزمینی در دشت آذرشهر با استفاده از ابزارهای پیش‌پردازش پرداخته است. برای انجام پیش‌پردازش مکانی از ابزار خوش‌بندی بهوسیله نقشه‌های خودسازمان‌ده (SOM)، برای پیش‌پردازش زمانی از تبدیل موجک و برای مدل‌سازی از شبکه عصبی مصنوعی استفاده شده است. نقشه‌های خود سازمانده برای تعیین مناطقی همگن از نظر داده‌های آب زیرزمینی جهت استفاده در مدل شبکه عصبی برای مدل‌سازی منابع آب زیرزمینی استفاده شد. تبدیل موجک برای استخراج ویژگی‌های زمانی و ناایستایی سری‌های زمانی تراز آب زیرزمینی بکار رفت. نتایج نشان داد که استفاده از تبدیل موجک و ترکیب آن با شبکه عصبی مصنوعی در مدل‌سازی تراز آب زیرزمینی دشت آذرشهر باعث بهبودی ۱۱/۶ درصدی در دقت مدل‌سازی، در گام‌های صحبت‌سنگی در سناریو اول و بهبودی ۲۳/۵ درصدی در سناریو دوم شد. می‌توان نتیجه گرفت استفاده از روش‌های نوین مدل‌سازی مانند استفاده از ابزارهای پیش‌پردازش زمانی و مکانی باعث افزایش قابل توجه دقت مدل‌سازی می‌گردد.

واژه‌های کلیدی: پیش‌پردازش، تبدیل موجک، تراز آب زیرزمینی، دشت آذرشهر، شبکه عصبی مصنوعی.

تاریخ دریافت مقاله: ۱۳۹۵/۰۸/۱۷

تاریخ پذیرش مقاله: ۱۳۹۶/۰۵/۲۱

۱- دکتری مهندسی عمران- سازه‌های هیدرولیکی، استادیار، عضو هیات علمی گروه مهندسی عمران دانشگاه آزاد اسلامی واحد اردبیل
۲- کارشناسی ارشد مهندسی عمران-آب، دانشگاه آزاد اسلامی واحد اهر
* نویسنده مسئول

مقدمه

شبیه‌سازی دقیق از سطح آب زیرزمینی می‌باشد. چن و همکاران برای پیش‌بینی سطح آب زیرزمینی از روش ANN استفاده کردند که نشان دادند این روش از دقت خوبی برخورده است. ملکی‌نژاد و پورشريعاتی (۱۳۹۲) مدل آریما^۳ و شبکه عصبی مصنوعی را برای پیش‌بینی تراز آب زیرزمینی دشت مرودشت بکار برdenد. با توجه نتایج به دست آمده تابع لونبرگ مارکوارت^۴ شبکه عصبی به عنوان بهترینتابع آموزشی برای پیش‌بینی سطح تراز آب زیرزمینی انتخاب گردید.

با توجه به ماهیت داده‌کاوی روش‌های محاسباتی، داده‌های مورد استفاده می‌تواند تأثیر بسزایی بر نتایج نهایی مدل‌سازی داشته باشد. لذا به منظور کمک به بهبود کیفیت داده‌ها و در نتیجه بهره‌وری و سهولت انجام مدل‌سازی توسط فرایند داده‌کاوی لازم است قبل از هر اقدامی پیش‌پردازش مناسب بروی داده‌ها صورت گیرد. پیش‌پردازش و آماده‌سازی داده‌ها شامل تمیز کردن، نرمال و استانداردسازی، تبدیل و فیلتر، استخراج ویژگی‌های مهم، انتخاب، خوشه‌بندی و غیره بوده و به عنوان اولین و مهم‌ترین گام در مدل‌سازی‌های مبتنی بر داده، مقدار قابل توجهی از زمان پردازش را در بر می‌گیرد. نتیجه و عملکرد پیش‌پردازش داده‌های هیدرولوژیکی، آماده‌سازی و تبدیل مجموعه داده‌های اولیه می‌باشد که در گام بعدی به عنوان رودهی به مدل‌های اصلی وارد می‌شوند. (نورانی و همکاران، ۲۰۱۵). خوشه‌بندی یکی از بهترین روش‌هایی است که برای کار با حجم زیاد داده‌ها ارائه شده است. قابلیت آن در ورود به فضای داده و تشخیص ساختار آن‌ها، خوشه‌بندی را یکی از ایده‌آل‌ترین مکانیزم‌ها برای کار با دنیای عظیم داده‌ها کرده است. روش خوشه‌بندی نقشه‌های خود سازمانده ابزاری برای پیش‌پردازش مکانی می‌باشد که باعث کاهش حجم داده‌های ورودی و افزایش دقت مدل و همچنین دسته‌بندی داده‌ها، ایستگاه‌ها و نواحی به گروه‌های همگن و بهینه‌سازی ساختار مدل با انتخاب داده‌های مؤثر و کارآمد می‌شود (نورانی و همکاران، ۲۰۱۵). جان و همکاران (2010) قرار دادن داده‌ها درون گروه‌های همسان را یکی از پایه‌ای ترین اشکال فرآیند درک و یادگیری توصیف می‌کند. ورن لیاو (2005) بیان داشت که خوشه‌بندی سری‌های زمانی جهت ارائه اطلاعات مفید در

در سال‌های اخیر روش‌های هوش مصنوعی (AI)^۱ توانایی قابل ملاحظه‌ای در مدل‌سازی و پیش‌بینی سری‌های زمانی هیدرولوژیکی از خود نشان داده‌اند. این روش‌ها چون مبتنی بر داده هستند، به دانش اولیه نسبت به پدیده مورد مطالعه نیاز ندارند. قدرت شبکه عصبی مصنوعی (ANN)، ناشی از توانایی آن در ارائه یک مدل غیرخطی برای سری زمانی چند متغیره است. در حال حاضر، شبکه عصبی به عنوان یک تقریب گر خودیادگیر و خود انطباق دهنده، توانایی زیادی در مدل‌سازی و پیش‌بینی سری‌های زمانی هیدرولوژیکی غیرخطی از خود نشان داده است. یک شبکه عصبی آموزش‌دیده^۲ دیده می‌تواند به عنوان یک متخصص در مقوله اطلاعاتی که برای تجزیه تحلیل به آن داده شده به حساب آید. از این متخصص می‌توان برای برآورد وضعیت‌های دلخواه جدید و جواب سوال‌های "چه می‌شد اگر" استفاده کرد (نورانی و همکاران، 2013). مقالات موفق متعددی از کاربرد شبکه عصبی مصنوعی، در مدل‌سازی فرآیندهای هیدرولوژیکی ارائه شده است به عنوان مثال: در مورد پیش‌بینی تراز آب زیرزمینی مطالعاتی توسط پژوهشگران زیر صورت گرفته:

ابراهات و همکاران (2012) یک مرور جامع بر روی کاربرد ANN در مدل‌سازی‌های هیدرولوژی کردند. کومیته (2000) ضمن بررسی نقش شبکه‌های عصبی مصنوعی در شاخه‌های مختلف هیدرولوژی، شبکه عصبی مصنوعی را ابزاری قدرتمند برای مدل‌سازی بسیاری از فرآیندهای غیرخطی هیدرولوژی بخصوص آب زیرزمینی معرفی می‌کند. نایاک و همکاران (2009) برای پیش‌بینی نوسانات سطح آب زیرزمینی آبخوان، از شبکه عصبی مصنوعی استفاده کردند. نتایج کارایی مدل ANN را در پیش‌بینی سطح آب زیرزمینی برای چهار ماه آینده نشان داد. چن و همکاران (2011) بیان داشته در مناطق خشک و نیمه‌خشک، فعالیت‌های انسانی مانند کشاورزی و صنعت اغلب نیاز زیادی به استخراج آب زیرزمینی دارد، تحت این شرایط در این مناطق به سیاست‌های مدیریت آب برای جلوگیری از هدر رفت آب نیاز می‌باشد. شناسایی چنین سیاست‌هایی نیازمند

³ Auto Regressive Integrated Moving Average

⁴ Levenberg-Marquardt (LM)

¹ Artificial Intelligence (AI)

² Trained ANN

داد مدل‌های BPN تک ایستگاهی و چند ایستگاهی، بسیار دقیق‌تر از مدل ARIMA بوده و مدل چند ایستگاهی-SOM- BPN بسیار بهتر از مدل تک ایستگاهی پیش‌بینی کرد. نورانی و همکاران (2012) با استفاده از روش‌های خوشبندی SOM و K-mean و مدل ANN به پیش‌بینی تراز آب زیرزمینی دشت اردبیل برای پیزومترهای مرکزی هر خوشه پرداخته و نشان دادند که این دو روش، نتایج مشابهی داشته و استفاده از آن‌ها دقت پیش‌بینی تراز را افزایش می‌دهد. هان و همکاران (2016) برای پیش‌پردازش مکانی و زمانی تراز آب زیرزمینی از تکنیک-های خوشبندی استفاده کردند. برای شناسایی مناطق همگن با روش SOM آن‌ها شش پیزومتر مرکزی را شناسایی کردند. در نهایت مدل AR⁶ را برای پیش‌بینی تراز آب زیرزمینی ماه آینده بکار بستند. نتایج دقت مفیدی را با ابزارهای مورد استفاده برای پیش‌بینی نشان داد. چانگ و همکاران (2016)⁷ NARX مدل‌های هوش مصنوعی در ترکیب با SOM و شبکه Zhusouhui را برای پیش‌بینی تراز آب زیرزمینی حوضه رودخانه تایوان بکار گرفتند. با توجه به معیارهای ارزیابی مدل، نتایج دقت قابل توجهی را نشان داد.

علاوه بر الگوهای مکانی، بعضی ویژگی‌های زمانی در سری‌های زمانی تراز آب زیرزمینی وجود دارند که سبب نا ایستایی سری‌های زمانی می‌شوند. برای کنترل این ویژگی‌های زمانی، استفاده از داده‌های پیش‌پردازش شده از نظر زمانی در پیش‌بینی با شبکه عصبی سبب بهبود دقت مدل‌سازی می‌شوند. تبدیل موجک (WT) یک روش پیش‌پردازش زمانی مناسب برای استخراج ویژگی‌های داده‌ها از قبیل نوسانات کوتاه‌مدت و طولانی‌مدت با تجزیه سری‌های زمانی به زیرسری‌ها می‌باشد. موجک، از توابع ریاضی بوده که با رائمه مقیاس زمانی موجود در سری‌های زمانی و روابط آن‌ها، سری‌های زمانی نایستا را تحلیل می‌کند. مطالعات اولیه نشان داد آنالیز موجک یک ابزار بسیار مؤثرتری نسبت به تبدیل فوریه در تحلیل سری‌های زمانی نایستا می‌باشد (اداموسکی، 2007). اخیراً مدل ترکیبی شبکه عصبی- تبدیل موجک کاربردهای مختلفی در مدل‌سازی هیدرولوژیکی پیدا کرده است. در زمینه شبیه‌سازی متغیر تراز آب زیرزمینی با مدل

حوضه‌های مختلف بسیار مفید می‌باشد. مقالات موفق متعددی از کاربرد SOM در مورد تراز آب زیرزمینی توسط پژوهشگران صورت گرفته است. در این مطالعات پژوهشگران از SOM به عنوان روشی برای خوشبندی بدون نظارت برای برنامه‌های مختلفی هیدرولوژیکی استفاده کردند و به این نتیجه رسیدند SOM با باعث افزایش دقت مدل و همچنین دسته‌بندی داده‌ها، و بهینه‌سازی ساختار مدل با انتخاب داده‌های مؤثر و کارآمد می‌شود. نورانی و همکاران (2012) یک مدل ریاضی برای تخمین سطح آب زیرزمینی در دشت اردبیل با استفاده از روش SOM همراه ANN ارائه نمودند. چن و لین (2006) توانایی SOM را با دو روش خوشبندی دیگر (روش‌های K-mean و Ward) مقایسه کرده و نتیجه گرفتند، SOM نواحی همگن را دقیق‌تر از دو روش دیگر شناسایی می‌کند. چی و همکاران (2004) با استفاده از روش خوشبندی استاتیکی، ۵۵ ایستگاه اندازه‌گیری پارامترهای شیمیایی آب زیرزمینی را در سه گروه مطابق با مشخصات ژئوشیمیایی خوشبندی کردند. نتایج نشان داد قرار گرفتن پیزومترها در خوشه‌ها متأثر از آلودگی‌های ایجاد شده در سطح زمین بود. داسارس و پیتر (2006) با استفاده از روش SOM به تحلیل پارامترهای شیمیایی آب زیرزمینی و خوشبندی آن پرداختند. ایشان ۳ منطقه را بعد از خوشبندی تشخیص دادند. کنسه و همکاران (2006) خوشبندی را با روش PCA در محیط GIS برای نمونه‌های آب زیرزمینی بکار برdenد. در مطالعات اخیر از روش SOM برای تحلیل داده‌های چندبعدی استفاده شد. در زمینه مدل‌سازی تراز آب زیرزمینی نیز، چن و همکاران (2010) روش ترکیبی SOM و RBFN را برای پیش‌بینی تراز آب زیرزمینی جنوب تایوان برای دوره زمانی ۱۹۹۷ تا ۲۰۰۳⁸ بکار گرفتند. نتایج نشان داد این روش به دلیل ساختاری ساده نسبت به سایر روش‌ها پیش‌بینی‌های منطقی انجام داده و استفاده از روش‌های خوشبندی، کیفیت پیش‌بینی را بهبود بخشید. چن و همکاران (2011) با استفاده از روش ترکیبی BPN⁹ و SOM پیش‌بینی تراز آب زیرزمینی را انجام دادند. در این پژوهش، آن‌ها پنج مدل تک ایستگاهی BPN، مدل تک ایستگاهی SOM-BPN، مدل چند ایستگاهی BPN و مدل چند ایستگاهی SOM-BPN را با هم‌دیگر مقایسه کردند. نتایج نشان

⁶ Auto Regressive

⁷ Nonlinear Autoregressive with Exogenous Inputs

⁵ Back-Propagation Network

در این تحقیق، برای پیش‌بینی سطح آب زیرزمینی دشت آذرشهر از روش خوشبندی SOM برای کاهش حجم داده‌های ورودی همچنین برای دسته‌بندی داده‌ها، ایستگاه‌ها و نواحی به گروههای همگن و بهینه‌سازی ساختار مدل با انتخاب داده‌های مؤثر و کارآمد، استفاده شده است و شبکه عصبی تخمین‌گر مورد استفاده برای مدل‌سازی از نوع شبکه عصبی پیشرو FFNN می‌باشد. مدل ترکیبی WANN به علت نیاز سری‌های زمانی تراز آب زیرزمینی به پیش‌پردازش و غلبه بر پدیده فصلی بودن سری زمانی و برای بهبود در نتایج استفاده شد. ترکیب مدل شبکه عصبی مصنوعی با تبدیل موجک یک ایده نو برای به وجود آمدن شبکه‌ای بهتر و مدلی دقیق‌تر می‌باشد. در انتهای به مقایسه نتایج حاصل از دو روش FFNN و WANN، پرداخته و دقیق بودن نتیجه روش مشخص شده گزارش می‌گردد.

مواد و روش‌ها

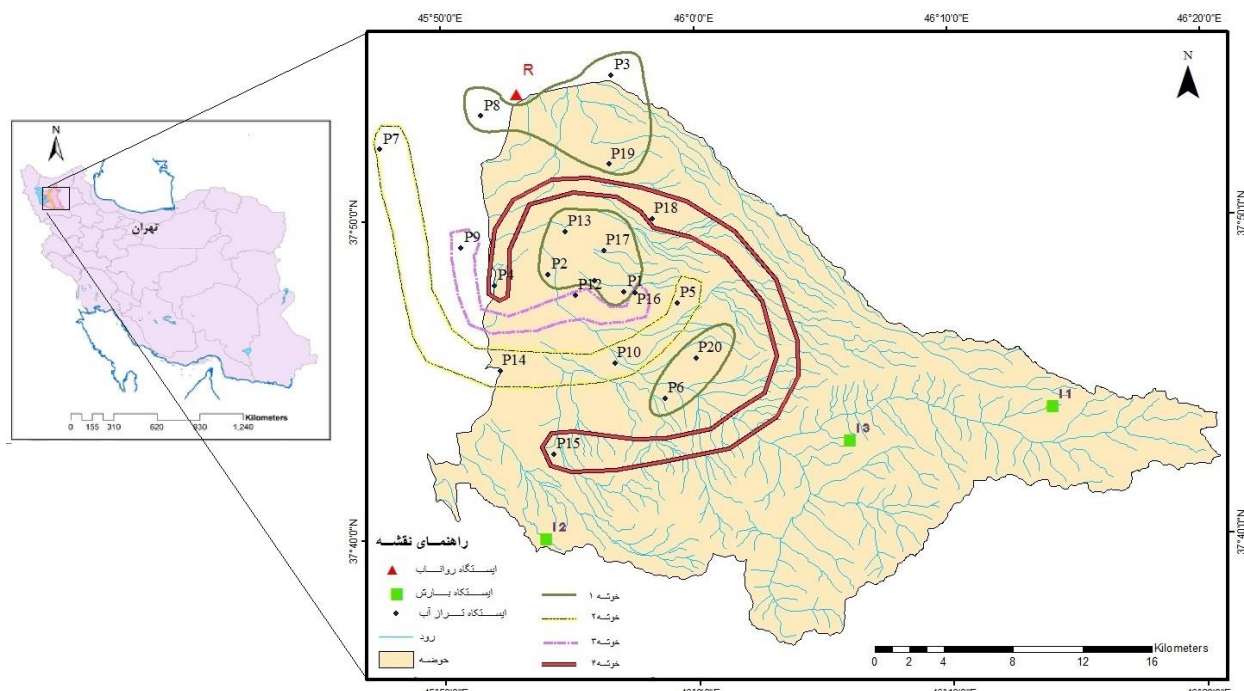
منطقه مورد مطالعه

شهرستان آذرشهر در استان آذربایجان شرقی واقع در شمال غربی ایران، در 37° درجه و 46° دقیقه عرض شمالی و 45° درجه و 85° دقیقه طول شرقی با وسعت 840 کیلومترمربع در 30 کیلومتری تبریز واقع شده است و ارتفاع آن از سطح دریا 1340 متر می‌باشد. این شهرستان از سمت شمال و شرق با شهرستان اسکو، از سمت غرب با دریاچه ارومیه و از سمت جنوب با شهرستان عجب‌شیر هم‌مرز است. میانگین میزان بارش سالانه آن به 329 میلی‌متر می‌رسد. در این پژوهش، از داده‌های ماهانه تراز آب زیرزمینی 20 پیزومتر که در شکل ۱ با حرف P نشان داده شده‌اند در دوره آماری $1381-91$ استفاده شد. حدود 20 الی 80 درصد از داده‌ها برای آموزش و 20 الی 30 درصد باقیمانده برای صحت سنجی مدل‌ها مورد استفاده قرار گرفت. همچنین این حوضه دارای یک ایستگاه رواناب در خروجی حوضه (که با حرف R نشان داده شده) و سه ایستگاه بارش (که با حرف I مشخص شده‌اند) می‌باشد (شکل ۱).

ترکیبی شبکه عصبی و تبدیل موجک مطالعات چندی صورت گرفته است. وانگ و دینگ (2003) مدل ترکیبی موجک و شبکه عصبی را برای پیش‌بینی سری‌های زمانی هیدرولوژیکی رواناب روزانه و تراز آب زیرزمینی ماهانه به کار برندند. نتایج مقایسه مدل آشکار کرد که مدل پیشنهادی دارای دقت بالایی نسبت به شبکه عصبی بوده و مدت زمان بیشتری را می‌توان برای پیش‌بینی کرد. وانگ و زو (2011) مدل ترکیبی WANN را برای پیش‌بینی تراز آب زیرزمینی بکار برندند با این تفاوت که از روش GA^8 (الگوریتم ژنتیک) را برای تعیین اوزان و پارامترهای مدل WANN استفاده کردند. نتایج نشان داد مدل ترکیبی GA-WANN با کاهش خطای نسبی و مقدار RMSE و با افزایش دقت و پایداری، عملکرد بهتری را در پیش‌بینی آب زیرزمینی از خود نشان می‌دهد. نورانی و همکاران (2015) در مطالعه خود از یک نقشه خودسازمان‌ده مبتنی برای شناسایی فضای همگن سطح آب‌های زیرزمینی استفاده کردند و از روش مدل‌سازی از نوع شبکه عصبی پیشرو برای مدل‌سازی و از ترکیب موجک برای استخراج ویژگی‌های پویا استفاده نمودند. نتایج نشان داد شبکه عصبی پیشرو $FFNN^9$ همراه با روش خوشبندی SOM باعث کاهش ابعاد متغیرهای ورودی و پیچیدگی‌ها شده و از سوی دیگر استفاده از (WT) باعث افزایش عملکرد مدل $FFNN$ گشته است. رجایی و زینی‌وند (۱۳۹۳) در مطالعه خود به پیش‌بینی سطح آب زیرزمینی دشت شریف‌آباد پرداختند. هدف مطالعه ارزیابی عملکرد سه مدل در پیش‌بینی سطح آب زیرزمینی بود که نتایج نشان داد که مدل WANN تطبیق بهتری با مقادیر مشاهدهای تراز آب زیرزمینی دارد. رجایی و ابراهیمی (۱۳۹۳) در مطالعه خود به توانایی موجک-شبکه عصبی در پیش‌بینی سطح تراز آب زیرزمینی برای یک ماه آینده پرداختند و به این نتیجه رسیدند که مدل موجک-شبکه عصبی از دقت بسیار خوبی در پیش‌بینی سطح آب زیرزمینی دارا می‌باشد.

⁸ Genetic Algorithm

⁹ Feed-forward neural network(FFNN)



شکل ۱- نقشه منطقه مورد مطالعه و موقعیت ایستگاه‌ها.

همچنین دسته‌بندی داده‌ها، ایستگاه‌ها و نواحی به گروه‌های همگن و بهینه‌سازی ساختار مدل با انتخاب داده‌های مؤثر و کارآمد می‌شود. عموماً شبکه SOM شامل دو لایه است، یک لایه ورودی و یک لایه کوهن. لایه ورودی کاملاً به لایه کوهن متصل است. هیچ کدام از المان‌های پردازشی (PE^{10}) در لایه کوهن به هم متصل نیستند. هر کدام از PE ها n ارزش وزنی دارند. برای هر کدام از المان‌ها مسافت محاسبه شده و PE با کمترین فاصله انتخاب می‌شود. آموزش با بهره‌گیری از یادگیری رقابتی می‌باشد. هنگامی که یک نمونه از داده‌ها برای آموزش به شبکه داده می‌شود، فاصله اقلیدسی آن از تمامی بردارهای وزنی محاسبه می‌شود (کوهن، 1998). نرون بردار وزنی که بیشترین شباهت را با نمونه ورودی دارد با نام BMU^{11} بهترین واحد تطبیق نامیده می‌شود. وزن‌های BMU و نرون‌های نزدیک به آن در شبکه SOM نسبت به بردار ورودی تنظیم می‌شوند. مقدار تغییر با گذشت زمان و با فاصله از BMU کاهش می‌یابد. فرمول بروز رسانی شده برای نرون با بردار وزن ($W_v(t)$) به صورت زیر می‌باشد:

¹⁰ Processing Elements

¹¹ Best Matching Unit

روش انجام کار

در این تحقیق برای پیش‌بینی سطح تراز آب زیرزمینی دشت آذرشهر، داده‌های بارش و رواناب در زمان مناسب به همراه داده‌های تراز آب زیرزمینی در زمان حال^(۴) به عنوان ورودی استفاده شد و سطح تراز آب زیرزمینی ماه آینده به عنوان خروجی مدل در نظر گرفته شده است. بهمنظور پیش‌پردازش مکانی داده‌ها و همچنین شناسایی پیزومترهایی که دارای بیشترین همبستگی مکانی با یکدیگر هستند، فرآیند خوشبندی با استفاده از روش SOM انجام می‌شود. سپس با استفاده از بیشترین ضریب سیلوهه پیزومتر مرکزی هر خوشبندی با استفاده از طریق شبکه انتخاب می‌شود. در مرحله بعد مدل‌سازی از طریق شبکه عصی مصنوعی صورت می‌پذیرد. سپس جهت افزایش دقت مدل‌سازی، پیش‌پردازش زمانی داده‌ها توسط تبدیل موجک انجام می‌گیرد.

روش دسته‌بندی SOM

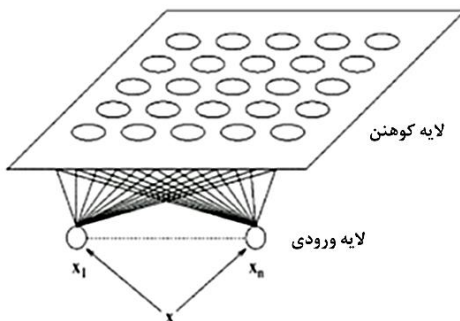
روش SOM ابزاری برای پیش‌پردازش مکانی می‌باشد که باعث کاهش حجم داده‌های ورودی و افزایش دقت مدل و

خود سازماندهی در مقیاس کلی صورت می‌گیرد. وقتی که تابع همسایگی تا جایی منقبض می‌شود که محدود به یک جفت نرون شود، وزن‌ها به برآوردهای محلی همگرا می‌شوند. روش SOM روشنی برای آنالیز، خوشه‌بندی و مدل‌سازی داده‌های ورودی گستردگی و چند متغیره است که در بسیاری از فرایندهای مهندسی آب قابل استفاده می‌باشد (کوهن، 1998).

ساختار شبکه SOM با در شکل ۲ نشان داده می‌شود.

$W(t+I) = Wv(t) + \phi(v, t)\alpha(t)(D(t) - Wv(t))$

که در آن، $\alpha(t)$ ضریب کاهش یادگیری به‌طور یکنواخت است، $D(t)$ بردار ورودی و ϕ تابع همسایگی است. $\phi(v, t)$ بستگی به فاصله شبکه بین BMU و نرون v دارد. در ساده‌ترین حالت مقدار تابع همسایگی برای همه نرون‌های به اندازه کافی نزدیک به BMU یک است و برای سایر نرون‌ها صفر است (کوهن، 1998). صرف‌نظر از فرم تابعی، تابع همسایگی توانایی انقباض با زمان را دارد. در آغاز زمانی که تابع همسایگی گستردگی می‌شود،



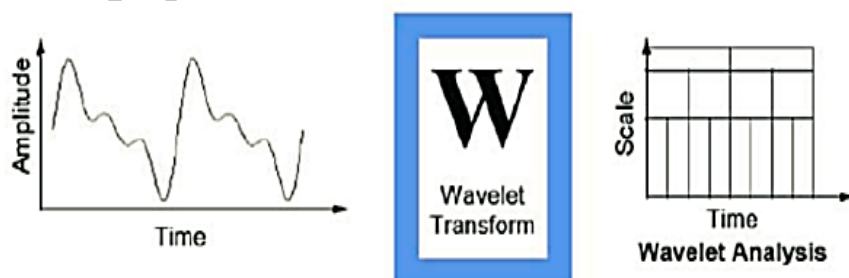
شکل ۲- یک نوع SOM مرسم شامل n داده در لایه ورودی و لایه کوهن با ابعاد ۵ × ۵ (Hsu and Li, 2010).

یک تابع رفتار کند. یافته‌های سال‌های اخیر نشان داده‌اند که تبدیل موجک برای تحلیل و بدون نویز کردن داده‌ها روش مناسبی هستند.

موجک‌ها توابع ریاضی هستند که یک بیان زمان-مقیاس از سری‌های زمانی و نسبت‌های آن ارائه می‌دهند که این بیان برای تحلیل سری‌های زمانی غیر ایستا مفید است. مزیت تبدیل موجک، توانایی در به دست آوردن اطلاعاتی زمانی، مکانی و فرکانسی یک سیگنال است (شکل ۳) (نورانی و همکاران، 2009).

تبدیل موجک

بعد از مرحله پیش‌پردازش مکانی، پیش‌پردازش زمانی برای پیزومترهای مرکزی حاصل از مرحله خوشه‌بندی با استفاده از تبدیل موجک انجام می‌گیرد. طبق تعریف، موجک یک موج کوچک است که انرژی آن در ناحیه کوچکی متتمرکز شده و ابزار مناسبی برای بررسی پدیده‌های گذرا است. موجک، دارای نوسان حداقل بوده که به سمت صفر نزول می‌کند و این نزول باقیستی در جهات مثبت و منفی واقع در دامنه‌اش محدود شود. این مشخصه باعث می‌شود که موجک انعطاف‌پذیر بوده و مانند



شکل ۳- تبدیل موجک.

صحیحی هستند که ترتیب میزان مقیاس و انتقال موجک را کنترل می‌نماید. همچنین a_0 گام مقیاس کوچک ویژه برای پارامتر انتقال ($a_0 > 1$) و b_0 پارامتر انتقال موقعیت ($b_0 < 0$) می‌باشند (نورانی و همکاران، ۲۰۰۹).

$$g_{m,n}(t) = \frac{1}{\sqrt{a_0^m}} g\left(\frac{t - nb_0 a_0^m}{a_0^m}\right) \quad [5]$$

برای تعیین سطح تجزیه از فرمول زیر استفاده شده است:

$$L = \log N$$

L بیان‌گر طول داده‌ها و N بیان‌گر تعداد سطوح تجزیه می‌باشد (نورانی و همکاران، ۲۰۰۹).

شبکه عصبی FFNN

شبکه عصبی استفاده شده در مدل ANN به منظور پیش‌بینی سطح تراز آب زیرزمینی پیزومترهای مرکزی، شبکه عصبی پیشرو $FFNN$ می‌باشد. شکل بهینه شبکه‌های عصبی به صورت آزمون و خطا به دست می‌آید. هدف از این آزمون و خطا، یافتن تعداد نمونه‌های لایه پنهان و تعداد تکرار الگوریتم می‌باشد تا به واسطه آن‌ها مدل تعریف گردد. این روند با استفاده از جعبه ابزار نرم‌افزار متلب یا از طریق کدنویسی‌های مربوطه انجام می‌پذیرد. یک شبکه عصبی مصنوعی ایده‌ای است برای پردازش اطلاعات که از سیستم عصبی زیستی الهام گرفته شده و مانند مغز به پردازش اطلاعات می‌پردازد و برای حل یک مسئله باهم هماهنگ عمل می‌کند. یک ANN برای انجام وظیفه‌های مشخص، مانند شناسایی الگوها و دسته‌بندی اطلاعات، در طول یک پروسه یادگیری، تنظیم می‌شود. در سیستم‌های زیستی یادگیری با تنظیماتی در اتصالات سینپاسی که بین اعصاب قرار دارد، همراه است. شبکه‌های عصبی، با قابلیت قابل توجه آن‌ها در استنتاج معانی از داده‌های پیچیده یا مبهم، می‌تواند برای استخراج الگوها و شناسایی روش‌هایی که آگاهی از آن‌ها برای انسان و دیگر تکنیک‌های کامپیوتوری بسیار پیچیده و دشوار است به کار گرفته شود. یک شبکه عصبی تربیت یافته می‌تواند به عنوان یک متخصص در مقوله اطلاعاتی که برای تجزیه تحلیل به آن داده شده به حساب آید. شبکه عصبی تخمین گر مورد استفاده برای مدل‌سازی در تحقیق از نوع شبکه عصبی پیشرو می‌باشد. در حالت کلی این شبکه از سه لایه تشکیل می‌شود. لایه اول شامل همه

با استفاده از این تبدیل می‌توان سیگنال اصلی را به سیگنال‌های پایه سازنده‌اش تجزیه کرد. دو نوع تبدیل موجکی وجود دارد: ۱- تبدیل موجکی پیوسته^{۱۲} (CWT)، ۲- تبدیل موجک گسسته (DWT)^{۱۳}، تبدیل موجکی پیوسته با یکی از این روابط بیان می‌شود:

$$CWT(s, \tau) = \int_{-\infty}^{+\infty} f(t) \psi(t)(s, \tau) dt \quad [6] \text{ یا:}$$

$$CWT_s = \frac{1}{\sqrt{s}} \int S S(t) \psi^*(s, \tau) dt$$

رابطه فوق تابعی از دو متغیر s و τ است که τ نشان دهنده انتقال، s بیان‌گر مقیاس (عکس بسامد) و علامت $*$ نشان دهنده مزدوج مختلط است. S و τ اعداد حقیقی هستند و s همیشه مثبت است که ممکن است مقادیر پیوسته یا گسسته به خود بگیرد. S و τ در تبدیل موجکی پیوسته دارای مقادیر پیوسته و در تبدیل گسسته دارای مقادیر گسسته هستند. (t) تابع موجک مادر به این دلیل به کار رفته که توابع متفاوت به وجود آمده بر اساس پارامترهای مقیاس و انتقال، همگی از توابع پایه (موجک مادر) ناشی می‌شوند. کلیه توابعی که از تابع مادر ساخته می‌شوند، موجک‌های دختر نامیده می‌شوند که از رابطه 4 به دست می‌آیند. ضریب مقیاس با یکی از حروف α یا δ نشان داده می‌شود:

$$\psi_{s,\tau}(t) = \psi\left(\frac{t - \tau}{s}\right) \quad [4]$$

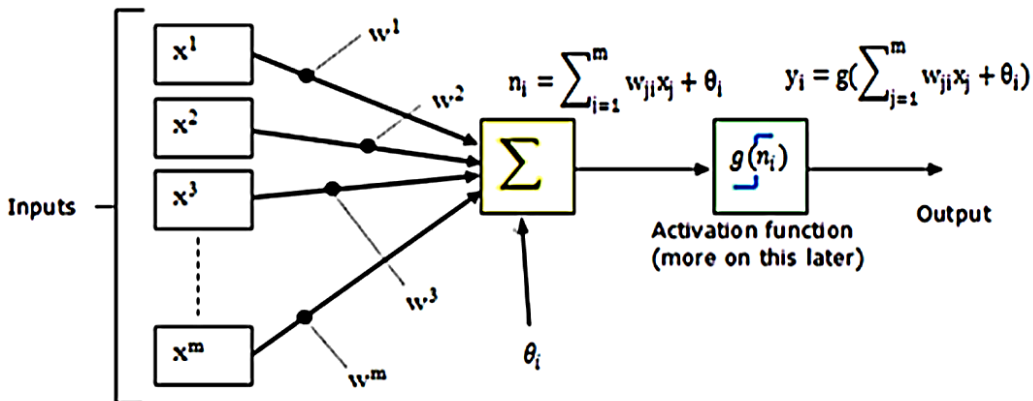
انتقال موجک به‌طور ساده به مفهوم به تأخیر انداختن یا جلو انداختن موجک و بیان کننده موقعیت موجک روی محور زمان است. تبدیل گسسته موجکی جهت پردازش و تحلیل سری‌های زمانی، بهتر از تبدیل پیوسته موجکی می‌باشد، زیرا داده‌های تبدیل یافته با DWT اجزای اضافی نداشته و بنابراین تبدیل معکوس را می‌توان برای هر دسته از داده‌های زمان بسالم به کار برد. تحلیل موجک یک روش بسیار جدید در زمینه‌های هیدرولوژی منابع آب است. موجک گسسته به صورت رابطه 5 بیان می‌شود. در رابطه فوق m و n اعداد

¹² Continues Wavelet Transform

¹³ Discrete Wavelet Transform

شمای کلی از یک شبکه عصبی مصنوعی با یک نرون را نشان می‌دهد.

متغیرهای ورودی، لایه آخر شامل متغیرهای خروجی و لایه میانی شامل تعدادی از گره‌های مصنوعی می‌باشد. گره‌های لایه‌های مجاور توسط بردارهای وزنی به هم مرتبط‌اند. شکل ۴



شکل ۴- شمای کلی شبکه عصبی مصنوعی با یک نرون (نورانی و همکاران، ۲۰۱۵).

در مرحله پیش‌بینی، دو معیار مختلف ضریب تبیین (R^2) و جذر میانگین مربعات خطأ به منظور ارزیابی کارایی هر شبکه و توانایی آن برای پیشگویی دقیق‌تر استفاده شده است.

$$R^2 = 1 - \frac{\sum_{i=1}^N (G_{com_i} - G_{obs_i})^2}{\sum_{i=1}^N (G_{obs_i} - \bar{G}_{obs_i})^2} \quad [8]$$

$$RMSE = \sqrt{\frac{\sum_{i=1}^N (G_{com_i} - G_{obs_i})^2}{N}} \quad [9]$$

N تعداد داده‌های مشاهداتی، G_{com_i} داده‌های محاسباتی (مقدار پیش‌بینی شده)، G_{obs_i} داده‌های مشاهداتی و \bar{G}_{obs_i} میانگین داده‌های مشاهداتی است. هرچه مقدار $RMSE$ به صفر و R^2 به یک نزدیک شود، جواب بهتری برای مدل حاصل شده است.

نتایج و بحث

نتایج خوشبندی

در این مطالعه، برای دست آوردن تعداد خوشها از SOM دو بعدی استفاده شده است. به این صورت که برای تمامی دو بعدی‌ها عملیات خوشبندی انجام شد تا بتوان دقیق‌ترین و بهتر خوش انتخاب شود. بعد از انجام این مراحل به این نتیجه

معیار ارزیابی موفقیت

در مرحله خوشبندی مکانی، از ضریب سیلهوت^{۱۴} می‌توان به عنوان معیاری برای اندازه‌گیری اعتبار خوش استفاده نمود (رابطه ۷). این ضریب برای یک خوش درجه شباهت ایستگاه‌های داخل یک خوش را بیان می‌کند که در آن $S(i)$ مقدار سیلهوت پیزومتر i است. مقادیر کوچک $S(i)$ بیانگر کمی شباهت ایستگاه‌ها در همان^{۱۵} خوش است. کیفیت خوشبندی می‌تواند با استفاده از متوسط سیلهوت برای مجموعه کل داده‌ها اندازه‌گیری شود.

$$s(i) = \frac{b(i) - a(i)}{\max\{a(i), b(i)\}} \quad [7]$$

$a(i)$ فاصله اقلیدسی است که متوسط نامشابهتی خوش i را از تمام ایستگاه‌های دیگر در خوش A اندازه می‌گیرد. $b(i)$ فاصله اقلیدسی است که کمینه نامشابهتی متوسط ایستگاه i را از ایستگاه‌های دیگر در غیر از خوش A بیان می‌کند (هسو و لی، ۲۰۱۰).

¹⁴ Silhouette Coefficient

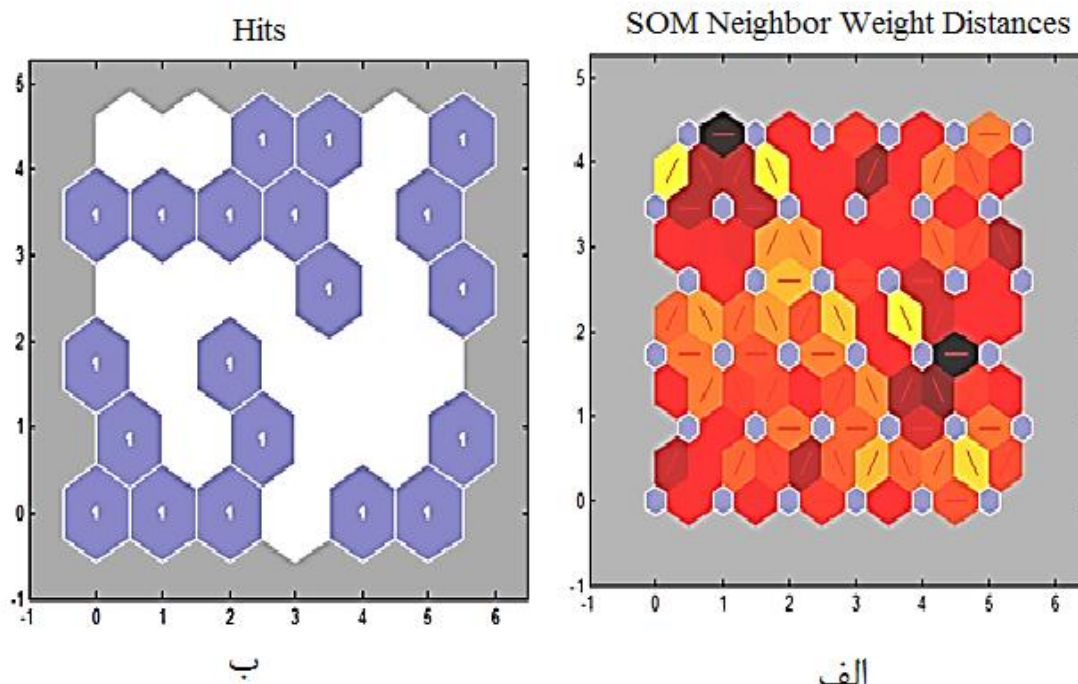
نتایج حاصل از تحلیل خوشبندی SOM را برای متغیر تراز آب زیرزمینی دشت آذرشهر نشان می‌دهد.

معیار اعتبار خوشبندی کاربرد وسیعی در تعیین تعداد خوشبندی بهینه دارند. در این مطالعه، از شاخص سیلهوت برای سنجش اعتبار خوشبندی انجام گرفته استفاده شده است. شاخص سیلهوت برای یک بردار ویژگی، معیاری است از میزان شباهتی که آن بردار ویژگی در خوشبندی مربوطه به خود با بردارهای ویژگی در سایر خوشبندی‌ها دارد. مقادیر شاخص سیلهوت در بازه‌ای بین ۱-۱ تا ۱ آورده بود. ضرایب سیلهوت در ستون سوم جدول ۱ آورده شده است.

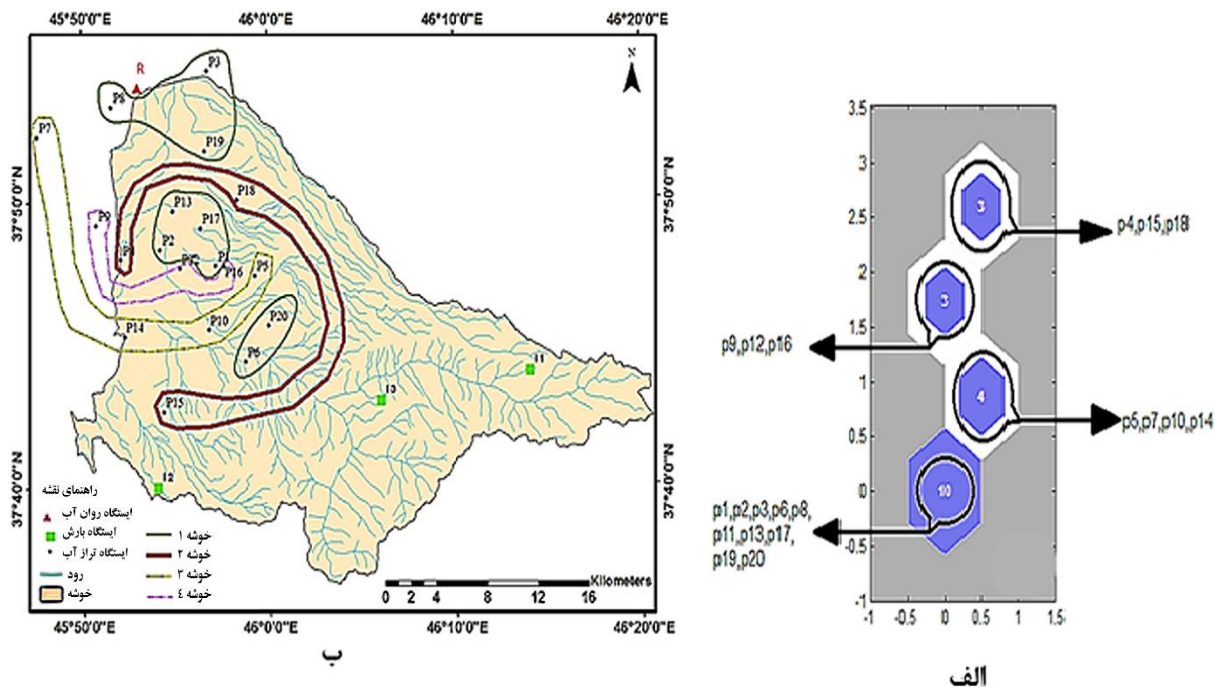
طبق ضرایب سیلهوت در جدول ۱، می‌توان نتیجه گرفت که پیزومترهای خوشبندی چهارم با داشتن بالاترین مقادیر این ضریب، بیشترین ارتباط را باهم دارند و همچنین خوشبندی اول کمترین ارتباط را دارند.

پیزومترهای مرکزی در ستون چهارم جدول ۱ آورده شده است که دارای بیشترین مقدار ضرایب سیلهوت می‌باشد. شکل ۶-ب) نتایج خوشبندی را بر روی حوضه مطالعه نشان می‌دهد.

رسیده شد که SOM دو بعدی ۶*۶ بهترین نتایج را نسبت به دو بعدی‌های دیگر دارد. این نتایج نشان داد که اگر پیزومترهای مورد مطالعه به چهار خوشبندی تبدیل شوند، بهترین نتیجه را خواهند داشت. شکل (۵) تحلیل خوشبندی SOM دو بعدی ۶*۶ را برای متغیر تراز آب زیرزمینی نشان می‌دهد. شکل (۵-الف) نشان گر فاصله وزن‌های همسایگی هستند، رنگ‌های تیره نشان دهنده همبستگی و ارتباط بیشتر پیزومترهای مورد تحلیل قرار گرفته می‌باشد. و رنگ‌های روشن نشان‌گر همبستگی و ارتباط کمتر بین پیزومترها می‌باشد. شکل (۵-ب) نقشه Hits را برای خوشبندی ۶*۶ نشان می‌دهد که SOM پیزومترها را به چند خوشبندی تقسیم کرده است. شکل‌های شش ضلعی که با عدد یک نشان داده شده است، بیان‌گر یک پیزومتر می‌باشد که شش ضلعی‌های سفید، پیزومترهایی هستند که ارتباط کمتری با هم دارند و در یک خوشبندی قرار نگرفته‌اند. این شش ضلعی‌های سفید پیزومترهای یک خوشبندی را از خوشبندی‌های دیگر جدا می‌کنند که در این شکل پیزومترها به چهار خوشبندی تقسیم شده‌اند. شکل (۶-الف) که تحلیل خوشبندی SOM تک بعدی برای متغیر تراز آب زیرزمینی را نشان می‌دهد، نمایان کر این است که چند پیزومتر در یک خوشبندی قرار گرفته است. جدول ۱



شکل ۵- نتایج خوشبندی SOM دو بعدی برای متغیر تراز آب زیرزمینی، (الف) فاصله وزن‌های همسایگی، (ب) نقشه Hits.



شکل ۶-الف- پیزومترهای واقع در هر خوشه، ب- خوشه‌بندی مکانی SOM روی نقشه منطقه مطالعاتی.

جدول ۱- نتایج حاصل از خوشه‌بندی نقشه خودسازمان د.

شماره کلاس	پیزومترها	ضریب سیلهوت	پیزومتر مرکزی
۱	P1, P2, P3, P6, P8, P11	۰/۳۳۴۸, ۰/۳۱۸۲, ۰/۴۵۶۱, ۰/۱۱۴۱, ۰/۲۰۳۱, ۰/۱۱۰۲ ۰/۲۳۶۸, ۰/۱۰۰۵, ۰/۴۷۹۴, ۰/۰۸۷۶	P19
۲	P13, P17, P19, P20	۰/۴۷۷۳, ۰/۴۵۶۰, ۰/۲۵۶۷, ۰/۲۵۸۵	P5
۳	P5, P7, P10, P14	۰/۲۲۸۸, ۰/۲۹۱۹, ۰/۳۰۹۷	P16
۴	P9, P12, P16	۰/۳۷۱۴, ۰/۷۷۰۷, ۰/۶۳۱۷	P15

در آینده استفاده شود. یکی از مزیت‌های این سناریو این است که اگر داده‌های تراز آب پیزومترهای دیگر در خوشه دارای داده‌های مفقود باشند، مشکلی در فرایند مدل‌سازی رخ نداده و پیش‌بینی تنها با استفاده از داده‌های پیزومتر مرکزی (بارش، رواناب و تراز آب زیرزمینی) صورت می‌پذیرد. انتخاب ورودی برای مدل ANN بر اساس نتایج حاصل از پیش‌پردازش مکانی داده‌ها صورت گرفت. به این صورت که به جای اعمال داده‌های مربوط به تمام ایستگاه‌های پیزومتریک، تنها از داده‌های پیزومترهای مرکزی استفاده شد. با توجه به مرکزیت پیزومتر مرکزی در منطقه مطالعاتی، این پیزومتر برای مدل‌سازی در هر

نتایج مدل‌سازی با مدل شبکه عصبی مصنوعی (ANN)

نتایج سناریو اول با مدل ANN

نوسانات تراز آب زیرزمینی پیزومتر مرکزی می‌تواند به عنوان نماینده‌ای از الگوی نوسانات یک خوشه در نظر گرفته شود. در سناریوی یک، مدل‌سازی تراز آب زیرزمینی تنها با استفاده از داده‌های پیزومتر مرکزی صورت پذیرفت. از آنجایی که نوسانات تراز آب زیرزمینی پیزومترهای واقع در یک خوشه از الگوی مشابهی تبعیت می‌کنند، تراز آب پیزومتر مرکزی می‌تواند برای پیش‌بینی تراز آب زیرزمینی برای خوشه مربوط

خوش انتخاب شد. در دشت آذرشهر داده های بارش (*I*), رواناب (*R*) و تراز آب زیرزمینی (*P*) در مقیاس ماهانه (*t*) اندازه گیری (*R*) و تراز آب زیرزمینی (*P*) در مقیاس ماهانه (*t*) ارائه شده است.

جدول ۲- نتایج و آماره های مدل سازی تراز آب زیرزمینی با روش شبکه عصبی مصنوعی برای سناریوی اول.

شماره کلاس	متغیرهای ورودی به شبکه	متغیرهای خروجی	تعداد تکرار	ساختمان شبکه *	R^2	واسنجی - صحبت سنجی	واسنجی - صحبت سنجی (بدون بعد)	RMSE
کلاس ۱	$p19(t), I_2(t-3), R(t)$	$p19(t+1)$	۴۰	۳-۴-۱	۰/۹۴	۰/۸۵	۰/۰۶۵	۰/۰۵۳
کلاس ۲	$p5(t), I_2(t-3), R(t)$	$p5(t+1)$	۳۰	۳-۵-۱	۰/۵۹	۰/۵۰	۰/۱۱۳	۰/۱۱۴
کلاس ۳	$p16(t), I_2(t-1), R(t)$	$p16(t+1)$	۵۰	۳-۴-۱	۰/۹۴	۰/۹۱	۰/۰۵۶	۰/۰۶۰
کلاس ۴	$p15(t), I_2(t), R(t)$	$p15(t+1)$	۲۰	۳-۲-۱	۰/۹۳	۰/۸۴	۰/۰۶۲	۰/۰۵۴

* عدد اول: تعداد ورودی ها، عدد دوم: میانی و عدد سوم خروجی مدل شبکه عصبی می باشد.

برای صحبت سنجی و ۷۰ الی ۸۰ درصد آنها برای واسنجی استفاده شده است. همچنین در جدول ۲ نتیجه مدل سازی با شبکه عصبی نیز گزارش شده است.

نتایج نشان می دهد که مدل سازی نسبتاً قابل قبول می باشد. طبق این جدول خوش شماره سوم بهترین جواب و خوش شماره دوم ضعیفترین جواب را می دهد. طبق نتایج به دست آمده می توان نتیجه گرفت به علت نزدیک بودن پیزومترهای خوش سوم از نظر موقعیت مکانی و شرایط یکسان از نظر ارتفاعی در دشت مورد مطالعه ضرایب سیلهوت در این خوش به هم نزدیک شده و خوش بندی خوبی صورت گرفته و باعث به وجود آمدن مدلی با دقت بهتر شده است. همچنین دقت مدل سازی برای خوش سه دوم نسبت به سه خوش دیگر نسبتاً پایین به دست آمد که می تواند به دلیل ساختار داده های سطح آب زیرزمینی در ایستگاه های این خوش باشد. توجیه این موضوع می توان گفت، با توجه به نقشه های توپوگرافی دشت آذر شهر، چهار ایستگاه *P5, P7, P10, P14* با توجه به موقعیت مکانی در حوضه و با توجه به این موضوع که هر چهار ایستگاه از نظر موقعیت ارتفاعی، از اختلاف زیادی نسبت به یکدیگر برخوردار هستند که این امر باعث می شود که میانگین درجه حرارت سالانه در این چهار ایستگاه متفاوت باشد که منجر به اختلاف میزان باران و برف در چهار ایستگاه می شود. همچنین این اختلاف ارتفاع و وجود شیب متفاوت بین پیزومتر ها و تفاوت در جنس خاک از نظر جذب آب، باعث می شود که آب زیرزمینی در این چهار ایستگاه دارای نوسانات بیشتر و ناهمگون نسبت به سه خوش دیگر و دیگر پیزومترهای این

در سناریوی اول، داده های (*P*), (*R*) و (*I*) و پیزومتر مرکزی را به نمایندگی از پیزومترهای آن خوش وارد شبکه عصبی مصنوعی می شود. قابل ذکر است که در این مرحله از تبدیل موجک استفاده نمی شود، داده ها قبل از وارد شدن برای مدل سازی باید نرمال سازی شوند و داده های نرمال شده وارد شبکه عصبی شود. به دلیل وجود سه ایستگاه بارش در منطقه مورد مطالعه باید بین ایستگاه های بارش و پیزومتر مرکزی، ایستگاه بارشی انتخاب شود که بیشترین همبستگی و بیشترین ارتباط را دارا می باشد. این عمل به وسیله همبستگی خطی ^{۱۶} صورت پذیرفت. با استفاده از همبستگی خطی مشخص شد که فاصله ایستگاه بارش هر چقدر از پیزومتر مرکزی کمتر باشد، همبستگی و ارتباط بیشتری خواهد داشت (رابطه ۱۰).

$$\text{Correl}(X, Y) = \frac{\sum(x - \bar{x})(y - \bar{y})}{\sqrt{\sum(x - \bar{x})^2 \sum(y - \bar{y})^2}} \quad [10]$$

در این رابطه، *x* و *y* همان دو سری داده های مورد بررسی برای همبستگی و \bar{x} ، \bar{y} هم میانگین سری های زمانی *x*، *y* هستند. در این تحقیق، مقادیر آینده سری زمانی به صورت تابعی از مقادیر گذشته همان سری زمانی پیش بینی می شوند. بر این اساس سطح تراز آب زیرزمینی در زمان *t* و بارش و رواناب طبق ارتباط بین پیزومتر مرکزی به عنوان ورودی و تراز آب زیرزمینی در زمان *t+1* به عنوان خروجی، طبق جدول ۲ در نظر گرفته می شود. در مدل سازی ۲۰ الی ۳۰ درصد از داده ها

¹⁶ Linear Correlation

آب زیرزمینی) صورت می‌پذیرد. در مدل‌سازی با شبکه عصبی مصنوعی برای سناریوی دوم تمامی مراحل مانند مراحل مدل‌سازی شبکه عصبی مصنوعی برای سناریوی اول انجام گرفته است. تنها تفاوت بین این مدل‌سازی به جای سطح تراز آب زیرزمینی پیزومتر مرکزی در زمان t به عنوان ورودی، سطح تراز آب زیرزمینی دو پیزومتر از همان خوش که بیشترین ارتباط را با پیزومتر مرکزی دارد، جایگزین شده است. معیار انتخاب این دو پیزومتر داشتن بیشترین ارتباط خطی بین پیزومتر مرکزی و تک‌تک پیزومترهای واقع در هر خوش می‌باشد. جدول ۳ ترکیب ورودی‌ها را برای شبکه عصبی در سناریو دوم و نتایج مدل‌سازی با شبکه عصبی را نشان می‌دهد.

خوش باشد. این نوسانات ناهمگون باعث به وجود آمد خطا در مدل‌سازی شده و دقت مدل‌سازی را به مقدار قابل توجهی در خوش دوم کاهش می‌دهد.

نتایج سناریوی دوم با مدل ANN

از آنجایی که نوسانات تراز آب زیرزمینی پیزومترهای واقع در یک خوش از الگوی مشابهی تبعیت می‌کنند، می‌تواند برای پیش‌بینی تراز آب زیرزمینی برای خوش از همه پیزومترها استفاده کرد. یکی از مزیت‌های این سناریو این است که اگر داده‌های تراز آب پیزومتر مرکزی دارای داده‌های مفقود باشد، مشکلی در فرایند مدل‌سازی رخ نداده و پیش‌بینی با استفاده از داده‌های پیزومترهای دیگر همان خوش (بارش، رواناب و تراز

جدول ۳- نتایج و آماره‌های مدل‌سازی تراز آب زیرزمینی با شبکه عصبی مصنوعی برای سناریوی دوم.

شماره کلاس	متغیرهای ورودی به شبکه	متغیر تعداد تکرار خروجی	ساختار شبکه	R^2	واسنجی- صحبت سنجی واسنجی- صحبت سنجی	RMSE(بدون بعد)
کلاس ۱	p19(t+1), p1(t), p3(t), I ₂ (t-3), R(t)	۱۱۰	۴-۱۰-۱	۰/۸۲۴	۰/۸۲۳	۰/۰۷۰
کلاس ۲	p10(t), p14(t), I ₂ (t-3), R(t)	۳۰	۴-۶-۱	۰/۸۰	۰/۴۳	۰/۰۷۶
کلاس ۳	p9(t), p16(t), I ₂ (t-1), R(t)	۱۰	۴-۷-۱	۰/۷۳	۰/۵۸	۰/۱۲۳
کلاس ۴	p4(t), p18(t), I ₂ (t), R(t)	۱۲۰	۴-۵-۱	۰/۸۷	۰/۸۰	۰/۰۵۲
کلاس ۱۴۰				۰/۸۲۴	۰/۸۲۳	۰/۰۷۰
کلاس ۱۹۱				۰/۸۰	۰/۴۳	۰/۰۷۶
کلاس ۱۳۲				۰/۷۳	۰/۵۸	۰/۱۲۳
کلاس ۱۵۰				۰/۸۷	۰/۸۰	۰/۰۵۲

موجود در آن منطقه ممکن است در هر محدوده زمانی متفاوت باشد. اما آنچه در این مورد مشخص است این است که تغییرپذیری طبیعی را نمی‌توان از طریق بهبود ساختار مدل، افزایش تعداد دفعات مدل‌سازی یا واسنجی بهتر پارامترهای مدل و جمع‌آوری اطلاعات بیشتر کاهش داد یا حذف کرد. بنابراین، برای غلبه بر این محدودیت‌ها از ترکیب تبدیل موجک با شبکه عصبی مصنوعی استفاده می‌شود.

طبق نتایج جدول ۳ بالاترین دقت مدل‌سازی برای خوش اول بوده و پایین‌ترین دقت مدل‌سازی همانند سناریوی اول در خوش دوم مشاهده می‌شود. با توجه به نتایج، مدل‌سازی نسبتاً قابل قبول می‌باشد. مقادیر R^2 به دست آمده برای داده‌های صحبت‌سنجی در خوش دوم در هر دو سناریو نسبت به سه خوش دیگر نسبتاً پایین مطابق دلایل اعلام شده در سناریو قبل به دست آمد.

نتایج سناریوی اول با مدل WANN

در این مطالعه تعداد داده‌های سری‌های زمانی ۱۲۴ عدد می‌باشد. در این مرحله با استفاده از رابطه ۶ عدد به دست آمده برای سطح تجزیه بالاتر از ۲ می‌باشد و در این صورت عدد ۳ برای سطح تجزیه انتخاب می‌شود.تابع $db4^{17}$ به عنوان تابع موجک مادر انتخاب شد.

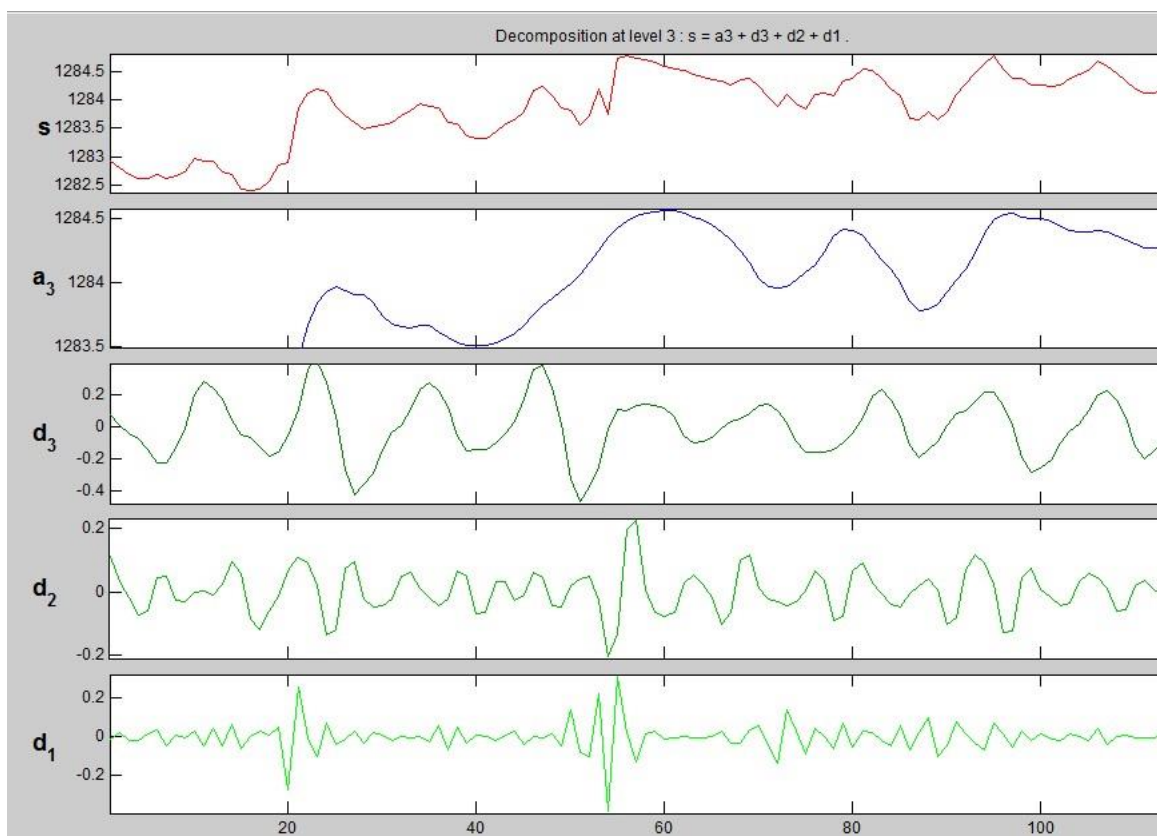
نتایج مدل‌سازی با مدل ترکیبی شبکه عصبی و تبدیل موجک (WANN)

مدلهای ANN در مدل‌سازی‌های غیرخطی مسائل هیدرولوژیکی علی‌رغم قابلیت و توانایی بالا، بعضی اوقات در مدل‌سازی سری‌های زمانی هیدرولوژیکی که دارای تغییرات زمانی زیادی هستند، تغییرپذیری ذاتی و طبیعی در سری داده‌های ورودی باعث تغییرپذیری مقادیر خروجی این مدل می‌شود. تحقیقات نشان داده است که این تغییرپذیری در اثر متغیر بودن شرایط طبیعی هر منطقه و فعالیت‌های انسانی

¹⁷ Daubechies-4 (db4)

db4 ۷ زیرسی‌های تجزیه پیزومتر ۱۹ با تبدیل موجک را نشان می‌دهد (نورانی و همکاران، ۲۰۱۵).

زیرا اینتابع همخوانی بیشتری از لحاظ شکل ظاهری با سری زمانی تراز آب زیرزمینی دارد.



شکل ۷- زیرسی‌های تجزیه پیزومتر ۱۹ با تبدیل موجک db4

باعث بهبودی قابل توجه مدل‌سازی شده، و دقت مدل‌سازی را افزایش داده و خطای مدل‌سازی را نیز نسبت به زمانی که مدل تنها با شبکه عصبی مصنوعی انجام گرفت است، کاهش داده است. در روش ترکیب تبدیل موجک با شبکه عصبی به جای اینکه از داده‌های خام سری زمانی ورودی برای آموزش شبکه استفاده شود، ابتدا سری زمانی ورودی در چند سطح تجزیه می‌شود و سپس به همراه ورودی‌های دیگر (بارش و رواناب) برای آموزش شبکه به کار می‌رود. در این صورت سری زمانی ورودی به شبکه عصبی به جای یک مؤلفه، چند مؤلفه دارد. مزیت مهم این روش، قابلیت آن در تشخیص اجزای تشکیل‌دهنده داده‌های غیرایستا به‌وسیله تجزیه چند سطحی موجکی داده‌ها است که باعث افزایش دقت مدل‌سازی شده و خطای مدل‌سازی را کاهش می‌دهد.

در گام بعدی، داده‌های تراز آب زیرزمینی در زمان (*t*) برای بدست آوردن زیرسی‌ها، وارد محیط متلب در قسمت تبدیل موجک، می‌شود. با انجام عملیات فوق داده‌ها به‌وسیله تبدیل موجک db4 به زیرسی‌هایی تبدیل می‌شود و سه سطح زیرسی نمایان می‌گردد، حال زیرسی که بیشترین ارتباط را با داده‌های مشاهداتی دارا می‌باشد با استفاده از همبستگی خطی مشخص شده و همراه زیرسی تقریبی به عنوان ورودی انتخاب می‌گردد. در مدل WANN، از زیرسی‌های تقریبی و جزئی انتخاب شده تراز آب زیرزمینی حاصل از تحلیل موجکی، همزمان به عنوان ورودی به همراه داده‌های بارش و رواناب به مدل شبکه عصبی مصنوعی داده می‌شود نتایج مدل ترکیبی برای سناریوی اول در جدول ۴ نشان داده شده است. بعد از مدل‌سازی و به دست آوردن نتایج، مطابق با جدول ۴، مشخص می‌شود که ترکیب تبدیل موجک با شبکه عصبی مصنوعی

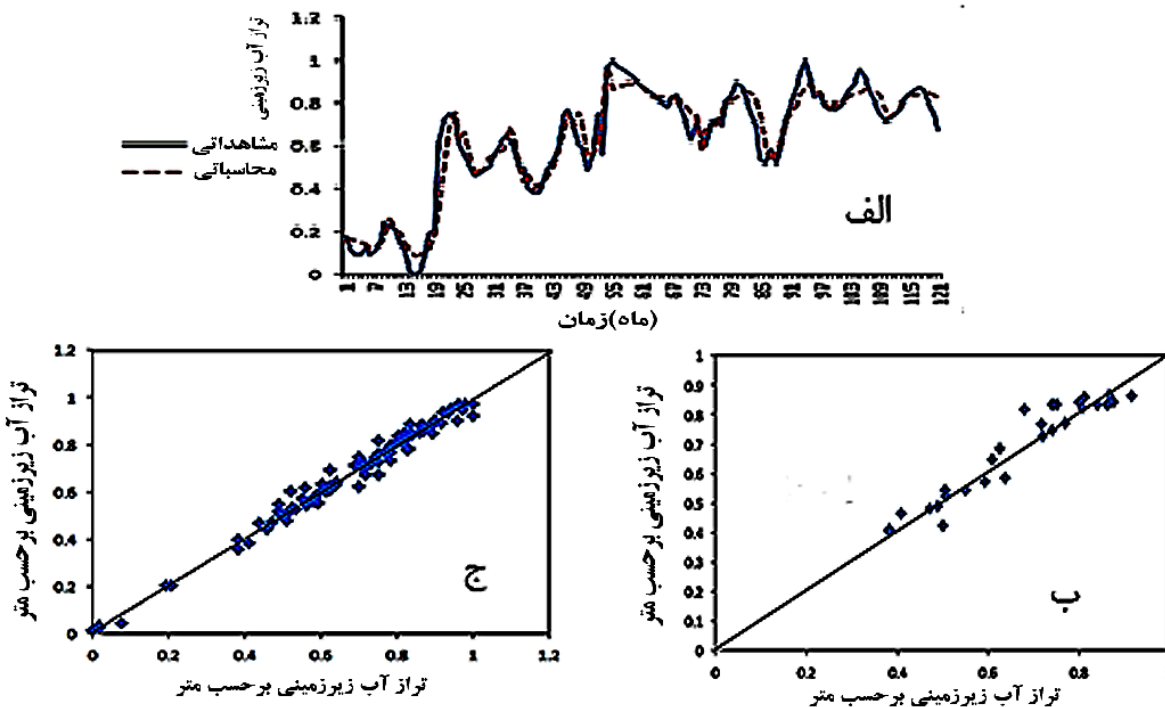
جدول ۴- نتایج و آماره‌های مدل‌سازی تراز آب زیرزمینی با مدل ترکیبی WANN برای سناریوی اول.

کلاس	شماره	متغیرهای ورودی به شبکه	خرجی	تعداد تکرار	ساختار شبکه	R^2	واستنجی- صحبت سنجی		(بدون بعد) RMSE
							واستنجی- صحبت سنجی	واستنجی- صحبت سنجی	
کلاس ۱	۱	*WTp19(t), I ₂ (t-3), R(t)	p19(t+1)	۹۰	۴-۳-۱	۰/۹	۰/۰۷	۰/۰۴	۰/۰۴
کلاس ۲	۲	WTp5(t), I ₂ (t-3), R(t)	p5(t+1)	۱۴۰	۴-۳-۱	۰/۶۸	۰/۱۰۰	۰/۱۳۷	۰/۰۷
کلاس ۳	۳	WTp16(t), I ₂ (t-1), R(t)	p16(t+1)	۲۰	۴-۳-۱	۰/۹۷	۰/۰۴۳	۰/۰۴۵	۰/۰۴
کلاس ۴	۴	WT p15(t), I ₂ (t), R(t)	p15(t+1)	۹۰	۴-۲-۱	۰/۹۷	۰/۰۶۳	۰/۰۴۷	۰/۰۴

* زیرسری‌های حاصل از تجزیه سری زمانی متغیر تراز آب زیرزمینی توسط تبدیل موجک در ورودی شبکه.

نشان داده شده است. همچنین در شکل (۸-ج) نمودار مقادیر مشاهداتی در مقابل محاسباتی مقادیر کالیبره را برای پیزومتر ۱۹ به عنوان نمونه نشان داده شده است. با توجه به شکل ۸-ب) نمودار مقادیر مشاهداتی در مقابل محاسباتی برای مقادیر مساحتی برای مدل سازی قابل قبول می‌باشد.

برای ارزیابی مدل در شکل (۸-الف) مقادیر محاسباتی و مقادیر مشاهداتی پیزومتر ۱۹ به عنوان نمونه نشان داده شده است. شکل (۸-ب) نمودار مقادیر مشاهداتی در مقابل محاسباتی برای مقادیر سنجی پیزومتر ۱۹ برای مثال



شکل ۸- الف- مقادیر محاسباتی و مقادیر مشاهداتی پیزومتر ۱۹ در حالت نرمال. (ب) نمودار مقادیر مشاهداتی در مقابل محاسباتی برای مقادیر صحبت سنجی پیزومتر ۱۹، (ج) نمودار مقادیر مشاهداتی در مقابل محاسباتی مقادیر کالیبره برای پیزومتر ۱۹.

طبق شکل ۸ مشاهده می‌شود که مقادیر مشاهداتی و محاسباتی از انطباق خوبی نسبت به یکدیگر برخوردار می‌باشند. می‌توان نتیجه گرفت که مدل سازی به صورت قابل قبول انجام گرفته و پیش‌بینی سطح تراز آب زیرزمینی می‌تواند مورد قبول باشد. بهترین جواب برای مدل ترکیبی WANN در خوشة سوم و ضعیف‌ترین جواب برای خوشة دوم شبکه عصبی مصنوعی شبیه‌سازی کند.

طبق شکل ۸ مشاهده می‌شود که مقادیر مشاهداتی و محاسباتی از انطباق خوبی نسبت به یکدیگر برخوردار می‌باشند. می‌توان نتیجه گرفت که مدل سازی به صورت قابل قبول انجام گرفته و پیش‌بینی سطح تراز آب زیرزمینی می‌تواند مورد قبول باشد. بهترین جواب برای مدل ترکیبی WANN در خوشة سوم و ضعیف‌ترین جواب برای خوشة دوم

این مرحله همانند قبل سطح تجزیه ۳ در نظر گرفته می‌شود. با اجرای عملیات فوق داده‌های ورودی ما به شش داده، بارش رواناب، و چهار زیرسیزی از اجرای تبدیل موجک بر روی داده‌های تراز آب پیزومترهای انتخابی ایجاد می‌شود. تجربه نشان داده است که با افزایش یا کاهش مقدار داده‌های ورودی در شبکه عصبی، زمانی جواب دقیق‌تری به دست می‌آید که نسبت به داده‌هایی ورودی نرون‌های میانی نیز تغییر پیدا کند. با افزایش داده‌ها اگر نرون میانی به صورت صحیح افزایش یابد باعث به دست آمدن جواب دقیق‌تری می‌شود. در جدول ۵ نتیجه مدل‌سازی با شبکه ترکیبی WANN برای سناریوی دوم همانند مدل‌سازی در سناریوی اول زیرسیزی ای که بیشترین ارتباط را با داده‌های مشاهداتی دارا است، انتخاب شده و به جای داده‌های تراز آب زیرزمینی در زمان (t) قرار می‌گیرد. در گزارش شده است.

جدول ۵- نتایج و آماره‌های مدل‌سازی برای تراز آب زیرزمینی با مدل ترکیبی WANN برای سناریوی دوم.

شماره کلاس	متغیرهای ورودی به شبکه	تعداد تکرار	متغیر خروجی	ساختار شبکه	R^2	RMSE (بدون بعد)	
						واسنگی- صحت سنجی	واسنگی- صحت سنجی
کلاس ۱	WTp1 (t), WTp3(t), I ₂ (t-3), R (t)	۹۰	p19(t+1)	۰/۰۸۵	۰/۰۲۸	۰/۹۲	۰/۹۸
کلاس ۲	WTp4(t), WTp18(t), I ₂ (t), R (t)	۴۰	p5(t+1)	۰/۱۱۶	۰/۰۹۶	۰/۷۲	۰/۷۳
کلاس ۳	WTp9(t), WTp12(t), I ₂ (t-1), R (t)	۱۴۰	p16 (t+1)	۰/۱۰۶	۰/۱۱۵	۰/۷۵	۰/۷۶
کلاس ۴	WTp10(t),WTp15(t) , I ₂ (t-3), R(t)	۸۰	p15(t+1)	۰/۱۳۱	۰/۰۱۰	۰/۸۵	۰/۹۹

استفاده می‌شود. سناریوی دوم در مقایسه با سناریوی اول به علت استفاده از ورودی‌های زیاد که سبب ورود مقداری خطأ به مدل‌سازی شده است، در مرحله مدل‌سازی دقت کمی داشت. همچنین پیزومتر مرکزی در زمان t که به عنوان ورودی در سناریو اول استفاده شده است، از ارتباط بیشتری با خروجی یا همان پیزومتر مرکزی در زمان $t+1$ دارد. در هر دو سناریو دقت مدل‌سازی به غیر از خوش دوم، برای خوش‌های دیگر نسبتاً قابل قبول بود. با توجه به نتایج دو سناریو می‌توان فهمید که تعداد ورودی‌ها نقش مهمی در دقت مدل‌سازی دارند و هر چقدر تعداد ورودی‌ها کمتر باشند، دقت مدل‌سازی بیشتر می‌شود. در مطالعات چن و همکاران (۲۰۱۰ و ۲۰۱۱) و چانگ و همکاران (۲۰۱۶) از SOM فقط برای کاهش ورودی‌ها، هان و همکاران (۲۰۱۶) برای کلاس‌بندی مکانی و پیش‌پردازش مکانی بهره گرفتند. حال آنکه در این مطالعه نیز از این ابزار برای خوش‌بندی یا کلاس‌بندی مکانی استفاده شده است. هم‌چنین وانگ و دینگ (2003)، وانگ و زو (2011)، رجایی و زینی‌وند (۱۳۹۳) و رجایی و ابراهیمی (۱۳۹۳) تنها از روش پیش‌پردازش زمانی موجک به همراه مدل شبکه عصبی

نتایج سناریوی دوم با مدل WANN

در مدل‌سازی مدل ترکیبی WANN برای سناریوی دوم دو پیزومتر هم خوش که ارتباط خطی بیشتری با پیزومتر مرکزی دارند، انتخاب می‌شود. سپس داده‌های سطح تراز آب هر دو پیزومتر در زمان (t)، همراه داده‌های بارش و رواناب برای وارد کردن در شبکه عصبی انتخاب می‌شود، ولی قبل از آن داده‌های تراز آب هردو پیزومتر انتخابی با تبدیل موجک به زیرسیزهایی که با اجرای تبدیل موجک به وجود می‌آید، تبدیل می‌شود. همانند مدل‌سازی در سناریوی اول زیرسیزی ای که بیشترین ارتباط را با داده‌های مشاهداتی دارا است، انتخاب شده و به جای داده‌های تراز آب زیرزمینی در زمان (t) قرار می‌گیرد. در

طبق نتایج به دست آمده از مدل‌سازی ترکیبی WANN برای سناریوی دوم در جداول ۴ و ۵، بهترین جواب در خوش اول و ضعیف‌ترین جواب در خوش دوم به دست آمده است. با توجه به جدول (۵) و جدول ۳ ترکیب تبدیل موجک با شبکه عصبی توانسته ضریب R^2 در مرحله صحت‌سنجی را در ضعیف‌ترین خوش نسبت به مدل شبکه عصبی مصنوعی تا ۷۵ درصد افزایش دهد و همچنین در بهترین خوش تا ۱۳ درصد افزایش دهد. قابل ذکر است که افزایش ضریب R^2 صحت‌سنجی به مقدار ۷۵ درصد تأثیر بسیار زیادی در دقت مدل‌سازی می‌گارد و بیان‌گر این است که ترکیب تبدیل موجک با شبکه عصبی چقدر می‌تواند باعث بهبودی دقت مدل‌سازی شود.

مقایسه سناریوها و مدل‌ها

طبق نتایج جداول ۳ و ۲ می‌توان گفت که نتایج به دست آمده از مدل‌سازی توسط شبکه عصبی مصنوعی برای سناریوی دوم، نسبتاً ضعیف‌تر و با دقت کمتر نسبت به نتایج به دست آمده توسط مدل‌سازی برای سناریوی اول می‌باشد. دلیل آن این است که در سناریوی اول، از داده‌های پیزومترهای مرکزی

منابع

- رجایی، ط. و ابراهیمی، ه.، ۱۳۹۳. مدل‌سازی نوسان‌های ماهانه آب زیرزمینی به‌وسیله تبدیل موجک و شبکه عصبی پویا. مدیریت آب و آبیاری، (۱)، ۱۱۵-۹۹.
- رجایی، ط. و زینی‌وند، آ.، ۱۳۹۳. مدل‌سازی تراز آب زیرزمینی با بهره‌گیری از مدل هیبریدی موجک-شبکه عصبی مصنوعی. نشریه مهندسی عمران و محیط‌زیست، (۴)، ۶۳-۵۱.
- ملکی‌نژاد، ح. پورشريعاتی، ر.، ۱۳۹۲. کاربرد و مقایسه مدل سری زمانی تجمعی و مدل شبکه عصبی مصنوعی در پیش‌بینی تغییرات سطح آب زیرزمینی (مطالعه موردی: دشت مروست). علوم مهندسی آبیاری (مجله کشاورزی)، (۳)، ۹۲-۸۱.
- Abrahart, R. J., Anctil, F., Coulibaly, Dawson, Mount, N. j., See, L., Shamseldin, A., Solomatine, D., Toth, E., Wilby, L. R., 2012. Two decades of anarchy? Emerging themes and outstanding challenges for neural network river forecasting, *Progress in Physical Geography*, 36(4), 480-513.
- Adamowski, J., 2008. Development of a short-term river flood forecasting method based on wavelet analysis, *Journal of Hydrology*, 353(3-4), 247-266.
- ASCE Task Committee on application of artificial neural network in hydrology, 2000. Artificial neural network in hydrology 1: Hydrology application, *Journal of Hydrologic Engineering*, 5(2), 124-137.
- Aussem, A., Campbell, j., Murtagh, F., 1998. Wavelet-based feature extraction and decomposition strategies for financial forecasting, *International Journal of Soft Computing and Engineering*, 6(2), 5-12.
- Chae, G. T., Kim, K., Yun, S. T., Kim, K. H., Kim, S. O., Choi, B. Y., Kim, H. S. and Rhee, C. W. , 2004. Hydrogeochemistry of alluvial groundwaters in an agricultural area: an implication for groundwater contamination susceptibility, *Chemosphere*, 55, 369-378.
- Chang, F.J., Chang, L.C., Huang, C.W., Kao, I.F., 2016. Prediction of monthly regional groundwater levels through hybrid soft-computing techniques, *Journal of Hydrology*, 541, 965-976.
- Chen, L. H., Chen, C. T and Pan, Y. G., 2010. Groundwater level prediction using SOM-RBFN multisite model. *Journal of Hydrologic Engineering*, 15, 624-631.
- Chen, L.H., Chen, C.T., Li, D.W., 2011. Application of integrated back-propagation network and self-organizing map for groundwater level forecasting, *Water Resources Management*, 137 (4), 352-365.
- Choi, B. Y., Yun, S. T., Kim, K. H., Kim J. W., Kim, H. M. and Koh, Y. K., 2014. Hydrogeochemical interpretation of South Korean groundwater monitoring data using Self- Organizing Maps, *Journal of Geochemical Exploration*, 137, 73-84.
- Han, J.C., Huang, Y., Li, Z., Zhao, C., Cheng, G., Huang, P., 2016. Groundwater level prediction using a SOM-aided stepwise cluster inference model, *Journal of Environmental Management*, 182, 308-321.

مصنوعی برای پیش‌بینی تراز آب زیرزمینی استفاده کردند. حال آنکه در پژوهش نورانی و همکاران (۲۰۱۵) و مطالعه حاضر که بسیار شبیه هم هستند از ترکیب پیش‌پردازش مکانی SOM و پیش‌پردازش زمانی تبدیل موجک به‌طور توامان برای دش اردبیل و دشت آذرشهر استفاده شده است.

نتیجه‌گیری

در این تحقیق، از دو مدل ANN و WANN جهت پیش‌بینی سطح تراز آب زیرزمینی در دشت آذرشهر استفاده شد. دقت قابل توجه مدل WANN نشان می‌دهد که در صورت استفاده بجا از تبدیل‌های موجک و ترکیب آن با مدل شبکه عصبی، می‌توان سیستم‌های هیدرولوژیکی پیچیده را شبیه‌سازی کرد. با توجه به نتایج این پژوهه به خوبی می‌توان افزایش دقت مدل‌سازی را توسط مدل WANN مشاهده کرد. استفاده از مدل WANN باعث افزایش مقادیر R^2 برای تمامی حالات و همچنین ANNs مقادیر RMSE نسب به مدل‌سازی توسط مدل WANN کاهش شد که این امر نشان دهنده افزایش دقت مدل‌سازی و کاهش خطای مدل‌سازی است. مدل WANN نسبت به مدل ANN باعث بهبودی ۲۴ درصدی در ضعیفترین خوش در سناریو اول و ۳ درصدی در بهترین خوش این سناریو در گام صحبت سنجی شده است. همچنین باعث افزایش دقت مدل‌سازی به صورت ۶۷ درصدی در ضعیفترین خوش سناریوی دوم و درصدی بهترین خوش این سناریو در گام صحبت سنجی شده است. به‌طور کلی مدل WANN نسبت به مدل ANN باعث بهبودی ۱۱/۶ درصدی در گام صحبت سنجی برای سناریوی اول و ۲۳/۵ درصدی عملکرد مدل برای سناریوی دوم شد. با رویداشت به این پژوهش، مجال انجام انواع مدل‌های هوش مصنوعی وجود نداشت لذا پیشنهاد می‌شود در مطالعات آتی از مدل‌های دیگر هوش مصنوعی برای پیش‌بینی تراز آب زیرزمینی این دشت به کار گرفته شود. استفاده از ابزارهای دیگر خوشبندی مانند K-means, Ward جهت پیش‌پردازش مکانی داده‌ها گزینه‌ای دیگر جهت بررسی می‌باشد. همچنین، در این راستا پیشنهاد می‌شود از مدل یاد شده در زمینه مدل‌سازی سایر پدیده‌های هیدرولوژیکی همانند خشکسالی، رسوب، بارش-رواناب و... استفاده نمود.

- Hsu, K.C., and Li, S.T., 2010. Clustering spatial-temporal precipitation data using wavelet transform and self-organizing map neural network, *Advances in Water Resources*, 33, 190-200.
- Kisi, O., 2008. Stream flow forecasting using neuro-wavelet technique, *Hydrological processes*, 22(20), 4142- 4152.
- Jain, A.K., 2010. Data clustering: 50 years beyond k-means, *Pattern Recognition Letters*, 31, 615-666.
- Kohonen, T., 1998. The Self organizing map, *Neurocomputing*, 21, 1-6.
- Koonce, J. E., Yu, Z., Farnham, I. M. and Stetzenbach, K. J., 2006 Geochemical interpretation of groundwater flow in the southern. *Geosphere*, 2, 88-101.
- Moosavi, V., Vafakhah, M., Shirmohammadi, B. and Ranjbar, M., 2014. Optimization of wavelet- ANFIS and wavelet- ANN hybrid models by Taguchi method for groundwater level forecastion, *Arabian Journal for Science and Engineering*, 39(3), 1785-1796.
- Nayak, P. C., Satyaji rao, Y. P., 2009, Sudheer, P. K. Groundwater Level Forecasting in a Shallow Aquifer Using Artificial Neural Network Approach, *Water Resources Management*, 20, 77-90.
- Nguyen, T. T., Kawamura, A., Tong, T. N., Nakagawa, N., Amaguchi, H. and Jr, R. G., 2015. Clustering spation-seasonal hydrogeochemical data using self-organizing maps for groundwater quality assessment in Red River Delta, Vietnam, *Journal of Hydrology*, 552, 661-673.
- Nourani, V., Alami, M.T., Aminfar, M.H., 2009. Combined neural - wavelet model for prediction of Ligvanchayi watershed precipitation, *Engineering Applications of Artificial Intelligence*, 22, 466 - 472.
- Nourani, V., Hosseini Baghanam, A., Adamowski, J., Gebremichael, M., 2013. Using self-organizing maps and wavelet transforms for space-time pre-processing of satellite precipitation and runoff data in neural network based rainfall-runoff modeling, *Journal of Hydrology*, 476, 228-243.
- Nourani, V., Hosseini Baghanam, A., Daneshvar Vousoughi, F., Alami, M., T., 2012. Classification of Groundwater Level Data Using SOM to Develop ANN-Based Forecasting Model, *International Journal of Soft Computing and Engineering*, 2, 2231-2307.
- Nourani, V., Taghi Alami, M., Daneshvar Vousoughi, F., 2015. Wavelet-entropy data pre-processing approach for ANN-based groundwater level modeling, *Journal of Hydrology*, 524, 255-269.
- Suryanarayana, Ch., Sudheer, Ch., Vazeer Mahammood., Panigrahi, B.K., 2014. An integrated wavelet-support vector machine for groundwater level prediction in Visakhapatnam, India, *Neurocomputing*, 145, 324-335.
- Wang, L. and Zhao, W., 2001. Forecasting groundwater level based on WNM with GA. *Journal of Computational Information Systems*, 7(1), 160-167.
- Wang, W. and Ding, S., 2003. Wavelet network model and its application to the predication of hydrology, *Nature and Science*, 1(1), 67-71.
- Warren Liao, T., 2005. Clustering streamflow time series for regional classification, *Journal of Hydrology*, 407, 73-80.
- Wasserman, P.D., 1989. *Neural computing: Theory and practice*; Van Nostard Rehinfeld, New York, 230.